

# شبیه‌سازی عددی جریان دوفازی گاز - مایع در کanal افقی طویل و تعیین فرکانس اسلامگ با استفاده از مدل دوسیالی

بیوان ادبی (استادیار)

دانشکده فنی و هندسی، گروه مکانیک، دانشگاه هرمزگان

محمد رضا انصاری\* (دانشیار)

دانشکده هندسی مکانیک، دانشگاه تربیت مدرس

در این نوشتار برای نخستین بار با استفاده از مدل مستقل از فشار (PFM) پرش هیدرولیکی پیش از تشکیل اسلامگ، تسخیر و فرکانس اسلامگ در جریان دوفازی لایه‌یی در کanal افقی طویل تعیین شده است. معادلات این مدل دوسیالی گزاره‌توسط گروهی از روش‌های تسخیر شاک مرتبه بالا، به طور عددی حل شده است. به منظور تأیید نتایج روش‌های مختلف عددی به کار رفته مورد آزمایشی شیر آب انتخاب شده است. نتایج شبیه‌سازی در مقایسه با حل تحلیلی مسئله‌ی شیر آب، حاکی از پیش‌بینی صحیح جریان توسط کدهای توسعه‌یافته در تحقیق حاضر است. پس از صحت آزمایی کدهای توسعه‌یافته و مقایسه‌ی روش‌های مختلف عددی، روش عددی FLIC برای شبیه‌سازی جریان دوفازی لایه‌یی در کanal افقی طویل انتخاب شده است. با مقایسه‌ی نتایج شبیه‌سازی و داده‌های تجربی آزمایش‌های انجام شده در آزمایشگاه جریان چند فازی دانشگاه تربیت مدرس مشخص شد که PFM، توانایی شبیه‌سازی جریان دوفازی لایه‌یی در کanal افقی طویل، پرش هیدرولیکی پیش از تشکیل اسلامگ، تسخیر ناپایداری اسلامگ و تعیین فرکانس آن را به خوبی دارد.

**واژگان کلیدی:** مدل سازی عددی، PFM، مسئله‌ی شیر آب، پرش هیدرولیکی، فرکانس اسلامگ.

## ۱. مقدمه

شوند زمینه‌ی مهم تحقیق در طراحی و نیز عملکرد خطوط انتقال هیدرولیکی است.

## ۲. پدیده‌ی اسلامگ

هنگامی که گاز روی سطح مایع صاف جریان پاید، تعدادی امواج با طول موج کوتاه در سطح مشترک ایجاد می‌شود. یکی از این امواج با طول موج کوتاه رشد کرده و اسلامگی با طول موج بلند ایجاد می‌کند.<sup>[۱]</sup> بررسی تجربی جریان اسلامگ در کanal مستطیلی به طول ۱۰ m و سطح مقطع  $5 \times 10 \text{ cm}^2$  نشان داد که یک واحد موج اسلامگ از سه ناحیه‌ی اصلی تشکیل شده است (شکل ۲).

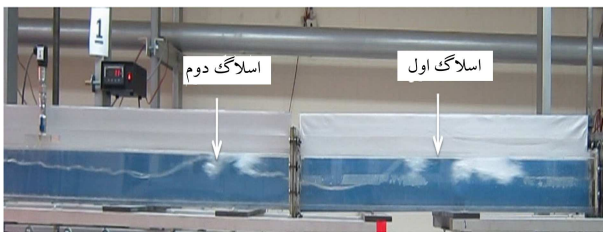
در ناحیه‌ی اول، سطح مشترک جریان دوفازی به دلیل جریان گاز اندکی فشرده می‌شود. در ناحیه‌ی دوم امواجی با طول موج کوتاه تشکیل می‌شود؛ یکی از این موج‌های ناحیه‌ی سوم رشد کرده که درنهایت اسلامگ خواهد شد. بنابراین دلیل تشکیل اسلامگ (که یک موج بلند است) امواج کوتاهی است که پیش از ایجاد اسلامگ در ناحیه‌ی دوم ظاهر می‌شوند. سازوکار رشد امواج کوتاه مبتنی بر ناپایداری کلوین - هلmhولتز است (شکل ۳).

منظور از جریان دوفازی گاز - مایع، به بیان ساده انتقال هم‌زمان فازهای گاز و مایع در یک خط لوله است. نفت و گاز طبیعی در خطوط لوله و مخلوط آب و بخار در نیروگاه‌ها مثال‌های خوبی از جریان‌های گاز - مایع صنعتی اند.<sup>[۲]</sup> از این رو جریان‌های چند فازی نقش مهمی در فتاوری تولید قدرت در نیروگاه‌ها، اینمنی راکتورهای شیمیایی و هسته‌یی، صنایع غذایی و نیز در صنایع خودروسازی و هواپما ایفا می‌کنند.<sup>[۳]</sup> بنابراین، درک خوب از رفتار فیزیکی سیستم‌های دوفازی و تغییر مشخصه‌های جریان با زمان، نظری حجم یا سرعت فاز سیال، برای طراحی مناسب خطوط لوله، عمل آوری سیال، بهینه‌سازی عملکرد، اینمنی حداکثری، کنترل بهره‌برداری از فرایندها و نیز طراحی تجهیزات مرتبط سیار مهم است.<sup>[۴,۵]</sup> یکی از شایع‌ترین الگوهای جریان دوفازی، رژیم جریان اسلامگ است که در آن سیال مایع به تهابی سطح مقطع لوله را پر می‌کند (شکل ۱).

در زمان طراحی خطوط لوله و مخازن، پیش‌بینی الگوی جریان اسلامگ اهمیت می‌یابد.<sup>[۶]</sup> پیش‌بینی شرایطی که منجر به تشکیل اسلامگ‌ها در جریان‌های چند فازی

\* نویسنده مسئول

تاریخ: دریافت ۹/۴/۱۳۹۲، اصلاحیه ۱۳۹۳/۲/۱۳، پذیرش ۲/۳۱/۱۳۹۳.



شکل ۴. تصویری از دو اسلگ متواالی در طول کanal،  $\alpha_1 = ۰,۷۵$  و  $U_{sg} = ۳,۲۰ \text{ m/s}$  و  $U_{sl} = ۰,۲۲ \text{ m/s}$ <sup>[۱]</sup>

ممکن است پرشدگی مایع افزایش یابد و سرنجام مقدار آن واحد شود (آغاز اسلگ) که به طور طبیعی در خروجی حل عددی معادلات دوسيالی رخ می‌دهد. اسلگ‌ها با حل معادلات انتقال جرم و مومنتوم هر فاز توسعه یافته، رشد کرده، به هم می‌پیوندند و مستهلک می‌شوند. تنها اطلاعات تجربی مورد نیاز برای بسته شدن روابط عبارت است از: نیروهای برشی مایع - دیواره، گاز - دیواره و سطح مشترک.<sup>[۱۶-۱۷]</sup> زمانی که مدل دوسيالی در محدوده شرایط خوش‌رفتار ریاضی استفاده شود، قادر به تسخیر رشد ناپایداری‌های منجر به اسلگ در جریان لایه‌ی خواهد بود. در زمان تشکیل اسلگ، با صفرشدن کسر حجمی، معادله مومنتوم گاز تکین<sup>۲</sup> خواهد شد و لذا معادله قابل حل نیست. محققین پیشنهاد دادند سرعت گاز به‌طور دلخواه برابر صفر قرار داده شود.<sup>[۱۸]</sup>

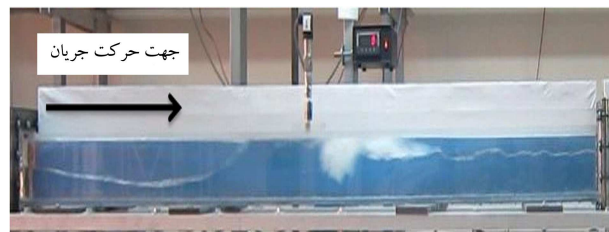
تحلیل کاربرد مدل دوسيالی در شبیه‌سازی عددی رشد موج و متعاقب آن توسعه‌ی جریان اسلگ در لوله‌های افقی<sup>[۱۹]</sup> نشان داد که در شرایط معین، اغتشاشات در جریان لایه‌ی ممکن است به امواجی رشد کند که به اسلگ منجر می‌شود. همچنین نشان داده شد که چگونه یک مدل ساده‌ی یک بعدی می‌تواند طبیعت آشوب واقعی جریان اسلگ را تولید کند، که پیش از این بیان نشده بود.

محققین روشی برای مدل سازی آغاز اسلگ و رشد آن در کanal‌های افقی ارائه کردند<sup>[۲۰]</sup> که طی آن معادلات دوسيالی گذرا به صورت عددی با استفاده از روش‌های دقیق تسخیر شوک حل شد. آنان تیجه گرفتند که مدل دوسيالی شرایط خوش‌رفتار<sup>۳</sup> ریاضی قادر به پیش‌بینی و مدل سازی فیزیک جریان است. در محدوده بدرفتار، ناپایداری نامحدود در حل میدان جریان رخ می‌دهد. با کاهش اندازه شبکه محاسباتی، دامنه‌ی ناپایداری به صورت نمایی افزایش می‌یابد. همچنین نشان داده شد که سه ناحیه ای متمایز در تشکیل اسلگ وجود دارد، و نیز اسلگ‌های با طول موج بالا از امواج با طول موج کوتاه آغاز می‌شود.

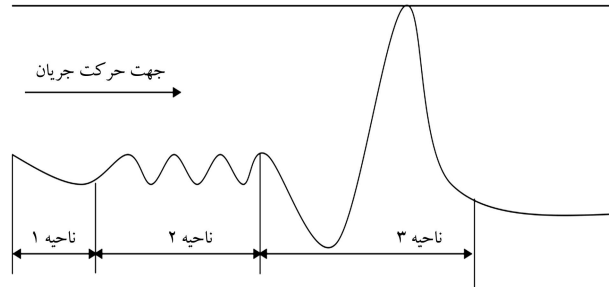
برای محاسبه‌ی پرشدگی مایع در جریان اسلگ، محققین روشی ارائه کردند<sup>[۲۱]</sup> که مزیت آن محاسبه‌ی مستقیم پرشدگی واحد اسلگ از حل معادلات میدان جریان بدون نیاز به روابط ساختاری بوده است. طبق نتایج به دست آمده، نه تنها مدل ارائه شده تطبیق خوبی با داده‌های تجربی با خطای کم تراز ۸/۶٪ داشته است، بلکه خطای کمتری در مقایسه با دیگر مدل‌ها نیز نشان می‌دهد.

برای نخستین بار روش‌های عددی بسیار دقیق تسخیر شاک<sup>۴</sup> در مدل دوسيالی پنج معادله‌ی به‌منظور مدل سازی اسلگ مورد استفاده قرار گرفت.<sup>[۲۲]</sup> این روش بسیار ساده، به لحاظ محاسباتی ارزان و قادر مشکلات روش‌های پیشین بود.

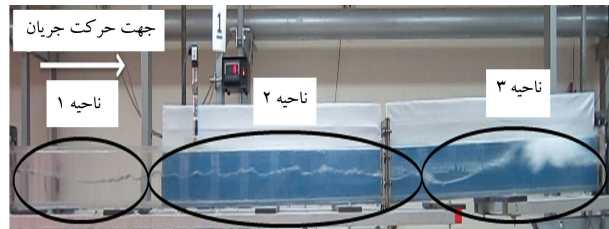
با توجه به این که در کارهای محققین پیشین، آغاز اسلگ و بررسی فرکانس اسلگ مورد توجه بوده و به شبیه‌سازی جریان در کanal‌های طویل و بررسی واحد اسلگ پرداخته نشده است، لذا در این مقاله با استفاده از مدل دوسيالی در محدوده شرایط خوش‌رفتار، جریان دوفازی گاز - مایع در یک کanal افقی طویل با شرایط فیزیکی و هندسی مشابه آزمایش‌های انجام شده در آزمایشگاه



شکل ۱. جریان اسلگ،  $\alpha_1 = ۰,۵۰$  و  $U_{sg} = ۳,۲۰ \text{ m/s}$  و  $U_{sl} = ۰,۲۲ \text{ m/s}$ <sup>[۱]</sup>



شکل ۲. طرح وارهی سه ناحیه‌ی اصلی در جریان اسلگ.<sup>[۱]</sup>



شکل ۳. سه ناحیه‌ی اصلی در جریان اسلگ،  $\alpha_1 = ۰,۷۵$  و  $U_{sg} = ۵,۰ \text{ m/s}$  و  $U_{sl} = ۰,۲۲ \text{ m/s}$ <sup>[۱]</sup>

### ۳. فرکانس اسلگ و پیشینه‌ی تحقیق

پیش‌بینی فرکانس اسلگ در توسعه‌ی مدل‌های جریان اسلگ، موضوع پراهمیتی است که تاکنون به‌طور کامل حل نشده است.<sup>[۲۳]</sup> مطالعات نگارنگان نیز نشان می‌دهد این موضوع کما کان به عنوان یک مسئله‌ی اساسی در جریان‌های دوفازی درون لوله و کanal مطرح است.

فرکانس اسلگ تعداد اسلگ‌های عبوری از یک مکان ویژه در راستای خط لوله در بازه زمانی مشخص است. از میان مشخصه‌های جریان اسلگ، فرکانس اسلگ موردی بحرانی است که به مشکلات عملکردی جدی نظری سیلانی شدن<sup>۱</sup> تأسیسات پایین دست، خوردگی شدید لوله، ناپایداری سازه‌ی خط لوله و نوسانات فشار سر چاه منجر می‌شود. پیش‌بینی فرکانس اسلگ در طراحی خطوط لوله انتقال و تجهیزات دریافت‌کننده‌ی گاز - مایع مهم است. در شکل ۴ تصویری از دو اسلگ متواالی دیده می‌شود.

مدل سازی جریان اسلگ نخستین بار توسط داکلر و هوبارد<sup>[۱۰]</sup> پیشنهاد داده شد. رهیافت عمومی این دو بعداً مورد استفاده قرار گرفت یا بهبود داده شد.<sup>[۱۱-۱۵]</sup> در شیوه تسخیر اسلگ<sup>[۱۶]</sup> رژیم جریان اسلگ به عنوان نتیجه‌ی خودکار رشد ناپایداری‌های هیدرودینامیکی به دست می‌آید. رژیم‌های لایه‌ی، اسلگ و گذرا با مجموعه معادلات حاکم مدل می‌شود (مدل یک بعدی، گذرا و دوسيالی) و قوانین جاری استفاده از مدل‌های تجربی رژیم جریان را غیرضروری می‌کند. در شبیه‌سازی ها

تنش فاز گاز با دیوار، تنش فاز مایع با دیوار و تنش در فصل مشترک دو فاز است  
(روابط ۶ تا ۸):<sup>[۲۳]</sup>

$$\tau_g = \frac{1}{2} f_g \rho_g u_g |u_g| \quad (6)$$

$$\tau_l = \frac{1}{2} f_l \rho_l u_l |u_l| \quad (7)$$

$$\tau_i = \frac{1}{2} f_i \rho_g (u_g - u_l) |u_g - u_l| \quad (8)$$

برای محاسبه ضریب های اصطکاکی فازهای گاز و مایع معمولاً از روابط جریان تک فاز استفاده می شود که در آن روابط به جای قطر داخلی از قطر هیدرولیکی مناسب هر سیال استفاده می شود. همچنین برای محاسبه عدد رینولدز از همان قطر هیدرولیکی استفاده می شود:<sup>[۲۳]</sup>

$$D_{hg} = \frac{A_g}{S_g + S_l} \quad D_{hl} = \frac{A_l}{S_l}$$

$$Re_g = \frac{\rho_g D_{hg} |U_g|}{\mu_g} \quad Re_l = \frac{\rho_l D_{hl} |U_l|}{\mu_l}$$

$$Re_i = \frac{\rho_g D_{hg} |U_g - U_l|}{\mu_g} \quad (9)$$

نتایج حاصل از بررسی های گسترش برا انواع فاکتورهای اصطکاکی حاکی از آن است که فاکتورهای اصطکاکی به صافی یا زبری لوله بستگی دارد.<sup>[۲۱، ۲۲]</sup> همچنین فاکتور اصطکاکی فاز مایع و فصل مشترک بسته به این که شکل فصل مشترک لایه بی - صاف<sup>۸</sup>، یا لایه بی - موجی<sup>۹</sup> باشد متفاوت است اما فاکتور اصطکاکی فاز گاز در هر دو حالت ذکر شده یکسان است.

**۲.۴. فاکتورهای اصطکاکی استفاده شده در تحقیق حاضر**  
در نوشtar حاضر زبری متوسط سطح لوله  $m^{-5} = 4,61 \times 10^{-5}$  در نظر گرفته شده است. فاکتور اصطکاکی فاز گاز با دیوار از رابطه<sup>۱۰</sup> محاسبه می شود:<sup>[۲۳]</sup>

$$f_g = \max \left[ \frac{16}{Re_g}, 0,001375 \left[ 1 + \left[ 2 \times 10^4 \left( \frac{\varepsilon}{D_{hg}} \right) + \frac{10^6}{Re_g} \right]^{\frac{1}{2}} \right] \right] \quad (10)$$

فاکتورهای اصطکاکی فاز مایع با دیوار و فصل مشترک دو فاز با استفاده از روش حداقل ری، به ترتیب طبق رابطه های ۱۱ و ۱۲ به دست می آید:<sup>[۲۳]</sup>

$$f_l = \begin{cases} \max \left[ \frac{14}{Re_l}, 0,001375 \sqrt{\frac{D_{hl}}{Re_l D}} \right] & \text{if } U_{gs} > 5 \text{ m/s} \\ \max \left[ \frac{16}{Re_l}, 0,001375 \left[ 1 + \left[ 2 \times 10^4 \left( \frac{\varepsilon}{D_{hl}} \right) + \frac{10^6}{Re_l} \right]^{\frac{1}{2}} \right] \right] & \text{otherwise} \end{cases} \quad (11)$$

$$\frac{f_i}{f_g} = \left\{ 1 + \max \left[ 0, 15 \left( \frac{U_{gs}}{5} - 1 \right) \sqrt{\frac{h_l}{D}} \right] \right\} \quad (12)$$

جریان چندفازی دانشگاه تربیت مدرس شبیه سازی شده است. هدف از این تحقیق پیش بینی شرایط جریان دوفازی لایه بی در کاتال افقی طویل، تسخیر ناپایداری های سطح مشترک و رژیم اسلاگ، تعییب اسلاگ های متوالی در کاتال با زمان و تعیین فرکانس اسلاگ است.

#### ۴. مدل مستقل از فشار (PFM)<sup>۶</sup>

جدیدترین مدل چندفازی که فیزیک جریان را به طور مناسب پیش بینی می کند، مدل چندسیالی است (با مدل دوسیالی<sup>۷</sup> – TFM – شناخته شده است که به دو فاز مستقل اشاره دارد). PFM یکی از زیرمدلهای مدل دوسیالی است که معادلات بقای جرم و مومنتوم کلی آن عبارت است از:<sup>[۲۳]</sup>

معادله بقای جرم کلی:

$$\frac{\partial}{\partial t} (\rho_l \alpha_l + \rho_g \alpha_g) + \frac{\partial}{\partial x} (\rho_l \alpha_l U_l + \rho_g \alpha_g U_g) = 0 \quad (1)$$

معادله بقای مومنتوم کلی:

$$\frac{\partial}{\partial t} (\rho_l U_l + \rho_g U_g) + \frac{\partial}{\partial x} \left( \frac{1}{2} \rho_l U_l^2 - \frac{1}{2} \rho_g U_g^2 + (\rho_l - \rho_g) g \cos \beta h_l \right) = H \quad (الف)$$

که:

$$H = -(\rho_l - \rho_g) g \sin \beta + \left( \frac{1}{A_l} + \frac{1}{A_g} \right) \tau_i S_i + \frac{\tau_g S_g}{A_g} - \frac{\tau_l S_l}{A_l} \quad (ب)$$

مجهولات در سیستم معادلات PFM، ترم های  $A_g$ ,  $\alpha_g$ ,  $A_l$ ,  $\alpha_l$ ,  $U_g$  و  $U_l$  هستند که با حضور چهار مجھول فقط دو معادله برای این سیستم وجود دارد؛ بنابراین دو معادله دیگر لازم است. اولین معادله، قید هندسی برای دوفاز است که چنین بیان می شود:

$$A_g + A_l = 1 \quad or \quad \alpha_g + \alpha_l = 1 \quad (3)$$

دومین معادله با فرض غیرقابل تراکم بودن دو فاز و حذف چگالی از دو معادله پیوستگی، و جمع دو رابطه به دست می آید:

$$\frac{\partial}{\partial x} (\alpha_l U_l + \alpha_g U_g) = 0 \quad (4)$$

با توجه به رابطه<sup>۴</sup> می توان دریافت که این رابطه فقط تابع زمان است. این تابع زمانی با  $C(t)$  و به صورت تابعی از پارامترهای جریان و رودی معرفی می شود:

$$\alpha_l U_l + \alpha_g U_g = C(t) = (\alpha_l U_l + \alpha_g U_g)_{inlet} \quad (5)$$

معادلات ۱ تا ۵ مدل مستقل از فشار (PFM) را تشکیل می دهد.

#### ۱.۴. روابط ساختاری

روابط ساختاری توابعی از سرعت دوسیال، خصوصیات محلی آنها و رژیم جریان دوفازی است. روابط ساختاری مورد نیاز در مدل دوسیالی برای بسته شدن معادلات،

## ۵. روش حل عددی

روشی است دو مرحله‌ای که از نظر مکان و زمان مرتبه‌ی دوم است. در مرحله‌ی اول از الگوی لکس و در مرحله‌ی دوم از الگوی پرش قورباغه‌ی<sup>۱۹</sup> استفاده می‌شود:<sup>[۲۲]</sup>

$$q_{i+1/2}^{n+1/2} = \frac{1}{2} [q_i^n + q_{i+1}^n] - \frac{\Delta t}{2\Delta x} [f_i^n - f_{i+1}^n] \quad (۱۶\text{الف})$$

$$f_{i+1/2}^{nRI} = f \left( q_{i+1/2}^{n+1/2} \right) \quad (۱۶\text{ب})$$

### ۳.۲.۵. روش مرکزی مرتبه‌ی اول (FORCE)

روشی مرتبه‌ی اول و از دسته روش‌های انتخاب تصادفی که روی شبکه‌ی جابه‌جا شده اعمال می‌شود:<sup>[۲۲]</sup>

$$f_{i+1/2}^{nForce} = \frac{1}{2} [F_{i+1/2}^{nLF} + F_{i+1/2}^{nRI}] \quad (۱۷)$$

مالحظه‌ی می‌شود شار عددی روش FORCE متوسط حسابی شارهای لکس - فردریجز و ریچمایر است.

### ۴.۲.۵. روش محدودکننده‌ی شار (FLIC)

روش محدودکننده‌ی شار از ترکیب یک شار یکنواخت مرتبه<sup>۲۰</sup>  $f_{i+1/2}^{Lo}$  و یک شار مرتبه‌ی بالا<sup>۲۱</sup>  $f_{i+1/2}^{Hi}$  تشکیل شده است:<sup>[۲۲]</sup>

$$q_{i+1/2}^{nFlc} = f_{i+1/2}^{Lo} + \phi_{i+1/2}(\beta) [f_{i+1/2}^{Hi} - f_{i+1/2}^{Lo}] \quad (۱۸)$$

این روش از دسته روش‌های<sup>۲۰</sup> مرتبه دوم است. برای روش FLIC شارهای مرتبه‌پایین و مرتبه‌بالا به صورت رابطه‌ی<sup>۲۲</sup> در نظر گرفته می‌شوند:

$$f_{i+1/2}^{Lo} = f_{i+1/2}^{Force} \quad f_{i+1/2}^{Hi} = f_{i+1/2}^{RI} \quad (۱۹)$$

که در آن  $f_{i+1/2}^{RI}$  به ترتیب شارهای عددی روش‌های FORCE و ریچمایر هستند.

محققین ترم‌های محدودکننده‌ی شار متعددی پیشنهاد داده‌اند.<sup>[۲۲]</sup> در نوشتار حاضر ترم محدودکننده‌ی شار Min mod در نظر گرفته شده است.

$$\phi(\beta) = \begin{cases} 0 & \text{if } \beta \leq 0 \\ \beta & \text{if } 0 < \beta \leq 1 \\ 1 & \text{if } \beta > 1 \end{cases} \quad (۲۰)$$

برای محاسبه‌ی ترم محدودکننده‌ی شار باید ابتدا رابطه‌ی<sup>۲۱</sup> محاسبه شود:

$$\beta_{i+1/2}^L = \frac{\Delta q_{i-1/2}^j}{\Delta q_{i+1/2}^j} \quad \beta_{i+1/2}^R = \frac{\Delta q_{i+2/2}^j}{\Delta q_{i+1/2}^j} \quad (۲۱)$$

که در آن<sup>۲۲</sup>  $\Delta q_{i-1/2}^j = \Delta q_i^j - \Delta q_{i-1}^j$ . و سپس باید رابطه‌ی<sup>۲۲</sup> محاسبه شود:

$$\phi_{i+1/2}^j(\beta) = \min \left\{ \phi_{i+1/2} \left( \beta_{i+1/2}^L \right), \phi_{i+1/2} \left( \beta_{i+1/2}^R \right) \right\} \quad (۲۲)$$

رابطه<sup>۲۱</sup> و<sup>۲۲</sup> به تکنگ معادلات سیستمی که دارای<sup>۲۳</sup> معادله هستند اعمال می‌شود ( $j = 1, \dots, m$ ). بنابراین<sup>۲۴</sup>  $m$  محدودکننده‌ی<sup>۲۵</sup>  $\phi$  به دست می‌آید. محدودکننده‌ی نهایی که در معادله<sup>۲۴</sup> مورد استفاده قرار گرفت مطابق رابطه‌ی<sup>۲۳</sup> محاسبه می‌شود:

$$\phi_{i+1/2} = \min \left( \phi_{i+1/2}^j \right) \quad j = 1, \dots, m \quad (۲۳)$$

برای محاسبه‌ی گام زمانی، ابتدا<sup>۲۵</sup>  $\Delta x$  مشخص می‌شود و سپس با استفاده از رابطه<sup>۲۴</sup> نسبت به محاسبه‌ی<sup>۲۶</sup>  $\Delta t$  اقدام می‌شود:

$$\Delta t = \text{CFL} \frac{\Delta x}{U_{Linlet} + gt} \quad (۲۴)$$

در این نوشتار از الگوریتم‌های مبتنی بر حل مسئله‌ی رین استفاده شده که در میان آنها می‌توان به دسته روش‌های گدونفی مرتبه اول با دسوس<sup>۱۰</sup> با شار تقریبی،<sup>[۲۷]</sup> روش‌های جداسازی شار<sup>[۲۸]</sup> و روش‌های تسخیر شوک مرتبه بالا<sup>[۲۹]</sup> اشاره کرد. تمامی این روش‌ها در ابتدا برای جریان تک‌فازی پیشنهاد شده بودند.

در مقالات اشاره واضحی به روش عددی مناسب جریان دوفازی نشده است. الگوریتم‌های مبتنی بر حل مسئله‌ی رین به این دلیل که اعمال و نیزکایت بخشیدن به آنها ساده‌تر است، هنگامی که قرار است از چند مدل ریاضی استفاده شده و بین آنها مقایسه صورت گیرد از اهمیت بالای برخوردار است. همچنین طبق بررسی صورت گرفته<sup>[۲۰]</sup> زمان محاسبات در دسته‌ی اول الگوریتم‌ها بسیار بالاست.

در این تحقیق با دنباله‌روی از دیدگاه سارل و آبکار<sup>[۲۷]</sup> الگوریتم‌های موجود برای جریان تک‌فاز به جریان دوفاز توسعه یافته و از بین آنها روش توانمند در پیش‌بینی مناسب فیزیک اسلامگ انتخاب خواهد شد.

## ۱.۵. فرمول‌بندی کلی و گسسته‌سازی معادلات

سیستم معادلات روش مستقل از فشار سیستمی پایستار است:<sup>[۳۱]</sup>

$$\frac{\partial q}{\partial t} + \frac{\partial f(q)}{\partial x} = S(q) \quad (۱۳)$$

در جداسازی معادلات از یک روش پایستار استفاده شده است<sup>[۲۲]</sup> (رابطه‌ی<sup>۱۴</sup>،) و آن عبارت است از:

$$q_i^{n+1} = q_i^n + \frac{\Delta t}{\Delta x} [f_{i-1/2}^n - f_{i+1/2}^n] + \Delta t S_i^n \quad (۱۴)$$

$f_{i+1/2}$  شار عددی<sup>۱۴</sup> نامیده می‌شود و تقریبی از شار فیزیکی است. برحسب این که چه تابعی برای محاسبه‌ی ترم شار عددی انتخاب شود روش‌های عددی مختلف حل مسئله‌ی رین به دست می‌آید. در قسمت بعدی عبارت‌هایی برای محاسبه‌ی ترم<sup>۱۵</sup>  $f_{i+1/2}$  ارائه می‌شود که به آنها روش‌های شار پایستار می‌گویند.

## ۲. روش‌های محاسبه‌ی ترم شار عددی

برای محاسبه‌ی ترم شار عددی<sup>۱۶</sup>  $f_{i+1/2}$  روش‌های مختلفی انتخاب شده است.

نقطه‌ای اشتراک این روش‌ها بیان تمامی آنها به صورت پایستار است. از میان روش‌های پایستار غیرگذنفی، روش مرتبه اول لکس - فردریجز<sup>۱۵</sup> و روش مرتبه دوم ریچمایر<sup>۱۶</sup> انتخاب شده که در آنها شارها روی مزسلول‌ها تقریب زده می‌شود. از دسته روش‌های انتخاب تصادفی روی شبکه‌ی جابه‌جا شده، روش مرکزی مرتبه اول (FORCE)<sup>۱۷</sup> انتخاب شده است. همچنین روش محدودکننده‌ی شار (FLIC)<sup>۱۸</sup> نیز انتخاب شده است.

### ۱.۰.۲.۵. روش لکس - فردریجز

این روش ساده‌ترین و معمول‌ترین روش صریحی است که در کتاب‌های حل عددی پیدا می‌شود.<sup>[۲۲]</sup> روش لکس - فردریجز از نظر مکان و زمان مرتبه‌ی اول است و چنین بیان می‌شود:<sup>[۲۲]</sup>

$$f_{i+1/2}^{nLF} = \frac{1}{2} [f_{i+1}^n + f_i^n] - \frac{\Delta x}{2\Delta t} [q_{i+1}^n - q_i^n] \quad (۱۵)$$

شار عددی در سلول<sup>۱۹</sup> نام به صورت<sup>۲۰</sup>  $(Q_i^n) = f_i^n$  تعریف می‌شود که با توجه به عبارت شار فیزیکی بیان شده توسعه مدل به دست می‌آید.

و نیز صرف نظر از عبارات تغییر فشار در فاز مایع به دست می‌آید:

$$\alpha_L(x, t) = \begin{cases} \frac{\alpha_L^{inlet} U_L^{inlet}}{\sqrt{(U_L^{inlet})^2 + g(x - x^{inlet})}} & x \leq x^{inlet} + U_L^{inlet}t + \frac{g}{2}t^2 \\ \alpha_L^{inlet} & otherwise \end{cases} \quad (25)$$

$$u_L(x, t) = \begin{cases} \sqrt{(U_L^{inlet})^2 + 2g(x - x^{inlet})} & x \leq x^{inlet} + U_L^{inlet}t + \frac{g}{2}t^2 \\ U_L^{inlet} + gt & otherwise \end{cases} \quad (26)$$

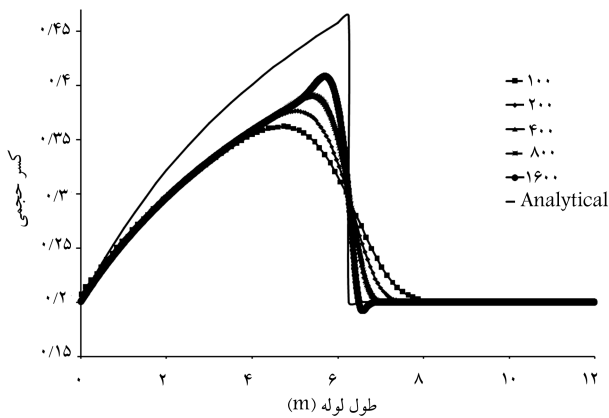
معمولاً برابر صفر قرار داده می‌شود. بنابراین، تنها با تعیین سرعت ورودی مایع حل گذراي فوق کامل می‌شود.

## ۲.۶. نتایج صحبت‌سنگی کدهای توسعه‌یافته

در این قسمت، نتایج شبیه‌سازی عددی حاصل از روش‌های مختلف مسئله‌ی شیر آب با استفاده از PFM و مقایسه‌ی آنها با حل تحلیلی آمده است. مقدار CFL برای تمام روش‌ها برابر  $0.5$  و مدت زمان برقراری جریان حالت ناپایدار برابر  $0.5$  s است. در شکل‌های ۶ تا ۸ جواب مستقل از شبکه‌ی روش‌های لامکس - فردیچز، ریچمایر، FORCE و FLIC نشان داده شده است.

طبق نمودارهای ۷ و ۸، در روش عددی لامکس - فردیچز تعداد سلول محاسباتی  $400 \times 400$  و در روش عددی مرکزی مرتبه اول تعداد سلول محاسباتی  $40 \times 40$  انتخاب می‌شود. در روش عددی ریچمایر با  $100 \times 100$  سلول محاسباتی نوسانات شدیدی دیده می‌شود که با ریزتر شدن شبکه این نوسانات بسیار شدید می‌شود و به جواب‌های غیر فیزیکی منجر خواهد شد. بنابراین تعداد سلول محاسباتی  $100 \times 100$  در این روش انتخاب می‌شود.

چنان‌که مشاهده می‌شود روش عددی مرتبه دوم ریچمایر به طور متوسط، تطبیق خوبی با حل تحلیلی دارد. این روش -- بهخصوص در نزدیکی ناپوستگی‌های شدید -- نوسانات شدیدی از خود نشان می‌دهد به این دلیل که مرتبه خطا در روش‌های مرتبه دوم، از مرتبه سوم است و خطاهای مرتبه سوم سبب نوسان جواب‌ها در میدان حل می‌شود. این روش‌ها باید با محدودکننده شار با شبیه



شکل ۶. استقلال جواب کسر حجمی از شبکه در مسئله‌ی شیر آب، PFM، روش عددی لامکس - فردیچز؛ زمان  $0.5$  s،  $CFL = 0.5$ .

## ۶. اعتبارسنجی عددی کد توسعه‌یافته‌ی PFM

در این قسمت آزمایش شیر آب<sup>۲۱</sup> به منظور صحبت‌آزمایی کدهای توسعه‌یافته معرفی می‌شود. هدف این مسئله استاندارد نه تنها ارزیابی توانایی مدل‌های فیزیکی در پیش‌بینی دقیق رژیم‌های جریان دوفازی، بلکه سنجش دقیق و توانایی روش‌های عددی در پیش‌بینی موارد ساده با حل‌های تحلیلی معلوم و حتی نامعلوم است.

### ۶.۱. مسئله‌ی شیر آب

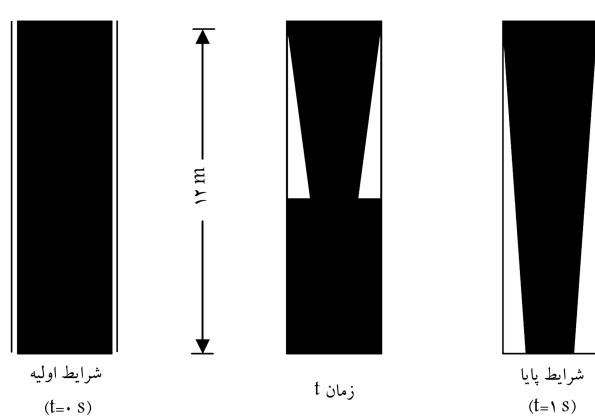
در این مسئله‌ی عمومی،<sup>۲۲</sup> جریان مایع از بالا به طور عمودی (ناشی از گرانش زمین) به فضای حل میریزد و جریان با سطح مقطع کاوش یافته را ایجاد می‌کند (شکل ۵). مشخصات مسئله‌ی عبارت است از:

- طول لوله‌ی عمودی:  $12$  m
- قطر لوله‌ی عمودی:  $1$  m
- سیال‌های عامل: هوا و آب ( $\rho_l = 1000$  kg/m<sup>3</sup>,  $\rho_g = 1.16$  kg/m<sup>3</sup>)
- دمای جریان:  $50^\circ$  C
- در ابتدا ( $t = 0$ ) لوله با ستون یکنواختی از آب با سرعت  $10$  m/s -- که با گاز ساکن ( $U_G = 0$  m/s) احاطه شده -- و با کسر حجمی  $0/2$  پر شده است. خصوصیات ترمودینامیکی سیستم در حالت اولیه ثابت فرض شده است: دمای  $50^\circ$  C و فشار  $1$  bar.
- شرایط مرزی در ورودی یا در بالای لوله مشابه داده‌های ورودی اولیه است:

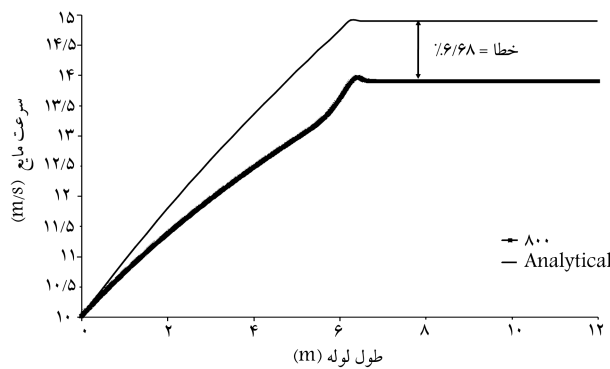
  - کسر حجمی ورودی:  $0/2$
  - سرعت مایع ورودی:  $10$  m/s
  - سرعت گاز ورودی:  $0$  m/s

- تنها شرط مرزی خروجی در زیر لوله، فشار ثابت اتمسفری (1 bar) است.

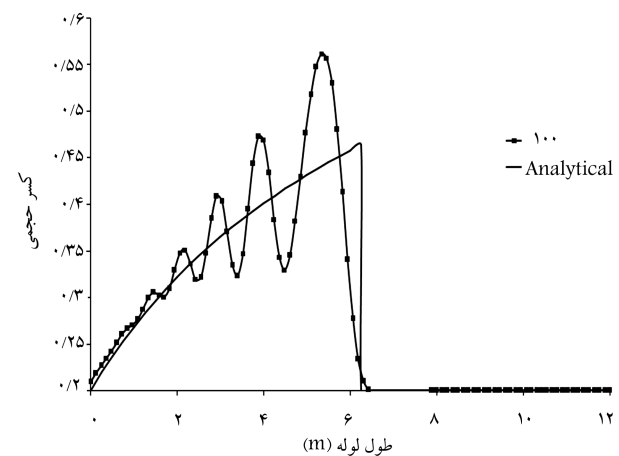
حل گذراي مسئله‌ی شیر آب بیان تحلیلی ساده و بهخصوصی دارد. به این دلیل، این مورد آزمایشی محبوب‌ترین مورد آزمایشی برای اعتبارسنجی روش‌های عددی مدل‌های جریان دوفازی است. حل تحلیلی گذراي زیر با فرض تراکم ناپذیری



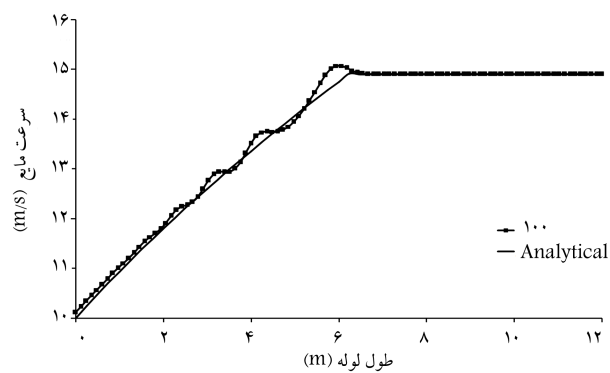
شکل ۵. طرح‌واره‌ی مورد آزمایش شیر آب.<sup>۲۳</sup>



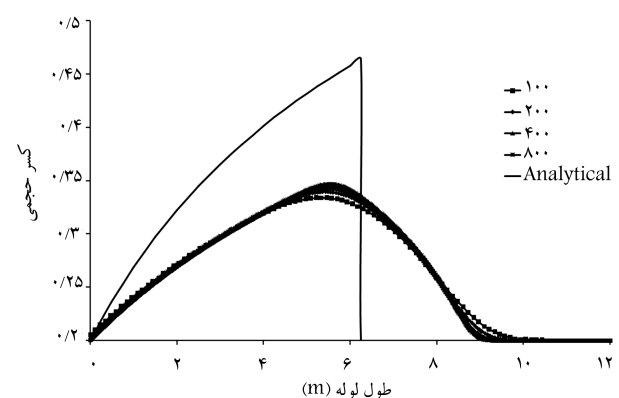
شکل ۱۰. مقایسهٔ حل تحلیلی و عددی سرعت فاز مایع در مسئلهٔ شیر آب، PFM روش عددی لاسکس - فردیچز، تعداد سلول محاسباتی  $۸۰۰$ ، زمان  $۰,۵$  s،  $CFL = ۰,۵$ .



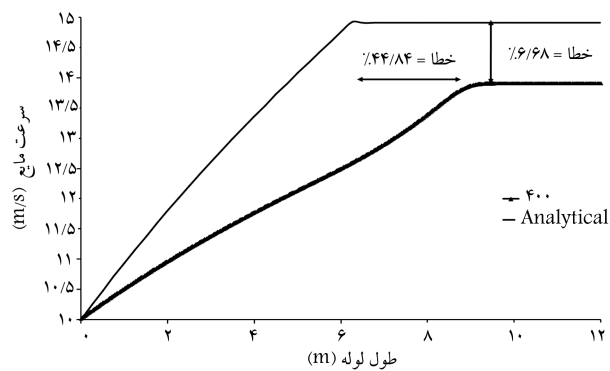
شکل ۷. کسر حجمی حاصل از حل تحلیلی و عددی در مسئلهٔ شیر آب، PFM روش عددی ریچمایر، تعداد سلول  $۱۰۰$ ، زمان  $۰,۵$  s،  $CFL = ۰,۵$ .



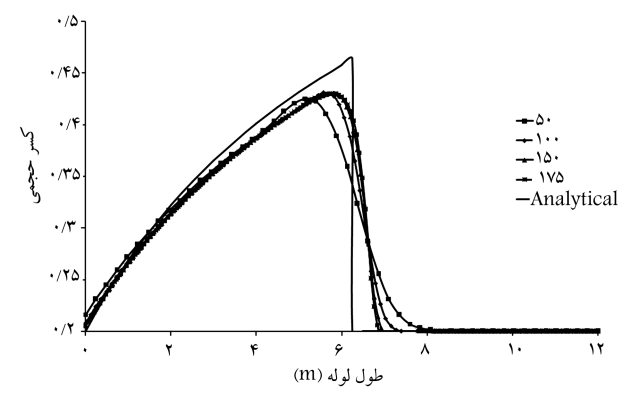
شکل ۱۱. مقایسهٔ حل تحلیلی و عددی سرعت فاز مایع در مسئلهٔ شیر آب، PFM روش عددی ریچمایر، تعداد سلول محاسباتی  $۱۰۰$ ، زمان  $۰,۵$  s،  $CFL = ۰,۵$ .



شکل ۸. استقلال جواب کسر حجمی از شبکه در مسئلهٔ شیر آب، PFM روش عددی مرکزی مرتبه اول، زمان  $۰,۵$  s،  $CFL = ۰,۵$ .



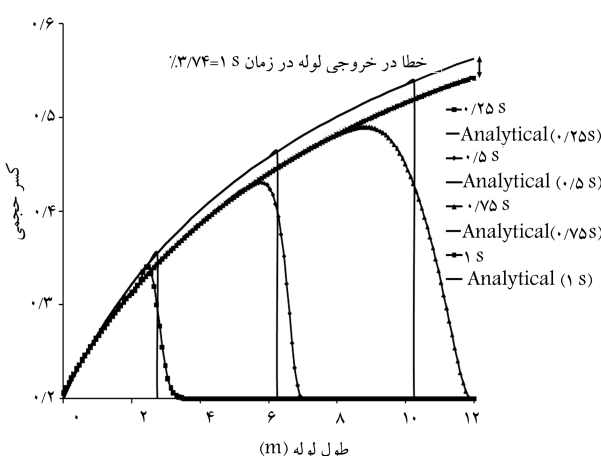
شکل ۱۲. مقایسهٔ حل تحلیلی و عددی سرعت فاز مایع در مسئلهٔ شیر آب، PFM روش عددی مرکزی مرتبه اول، تعداد سلول محاسباتی  $۴۰۰$ ، زمان  $۰,۵$  s،  $CFL = ۰,۵$ .



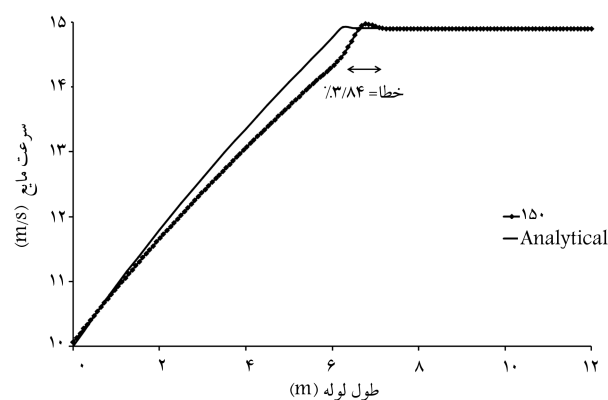
شکل ۹. استقلال جواب کسر حجمی از شبکه در مسئلهٔ شیر آب، PFM روش عددی FLIC، زمان  $۰,۵$  s،  $CFL = ۰,۵$ .

روش عددی لاسکس - فردیچز علی‌رغم پیش‌بینی صحیح مکان تغییر سرعت مایع، مقدار سرعت بیشینه را با خطای  $٪۶,۶۸$  برآورد می‌کند. همچنین روش عددی مرکزی مرتبه اول نه تنها مقدار سرعت بیشینه را با خطای  $٪۶,۶۸$  برآورد می‌کند، بلکه در پیش‌بینی مکان تغییر سرعت مایع نیز دارای خطای  $٪۴۴,۸۴$  است. روش عددی مرتبه دوم ریچمایر به جز وجود نوسان در نزدیکی ناپوستگی، تطابق خوبی با حل تحلیلی دارد. روش عددی FLIC با وجود پیش‌بینی دقیق

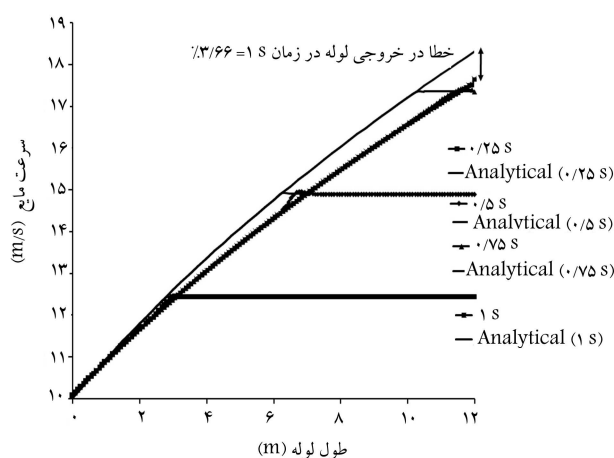
مناسب (روش‌های TVD مثلاً FCT<sup>۲۲</sup> یا FLIC<sup>۲۳</sup>) ترکیب شوند (شکل ۹). نوسانات باعث جواب‌دهی نامناسب کد در شبکه‌ی ریز خواهد شد. طبق شکل ۹ مشخص می‌شود که روش عددی FLIC بهترین تطبیق را با حل تحلیلی دارد. در شکل‌های ۱۰ تا ۱۳ سرعت فاز مایع حاصل از روش‌های لاسکس - فردیچز، ریچمایر و FORCE و FLIC به همراه حل تحلیلی نشان داده شده است.



شکل ۱۵. کسر حجمی با گذشت زمان و مقایسهٔ حل تحلیلی و عددی در مسئلهٔ شیر آب، روشن عددی FLIC، تعداد سلول محاسباتی  $15^0$ ، زمان  $s = 0, 0.5, 1$ .

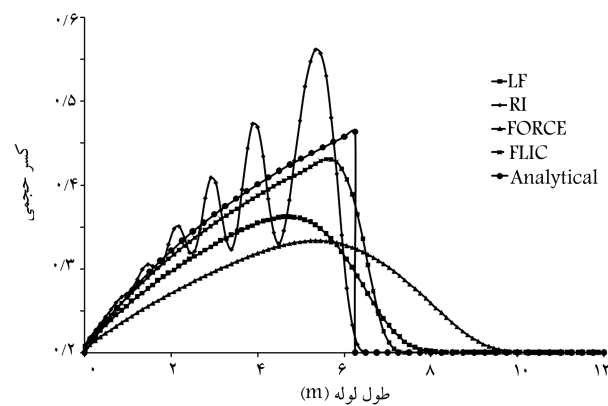


شکل ۱۳. مقایسهٔ حل تحلیلی و عددی سرعت فاز مایع در مسئلهٔ شیر آب، PFM، روشن عددی FLIC، تعداد سلول محاسباتی  $15^0$ ، زمان  $s = 0, 0.5, 1$ .  $CFL =$



شکل ۱۶. سرعت فاز مایع با گذشت زمان و مقایسهٔ حل تحلیلی و عددی در مسئلهٔ شیر آب، PFM، روشن عددی FLIC، تعداد سلول محاسباتی  $15^0$ .

قابل قبول  $3.74\%$  است. شتابگیری مایع ناشی از نیروی گرانش در شکل ۱۶ قابل مشاهده است. سرعت مایع از  $m/s = 10$  در رورودی آغاز و در شرایط پایا به بیش از  $m/s = 18$  در خروجی می‌رسد. حل عددی با روشن FLIC با حل تحلیلی دارای خطای قابل قبول  $3.66\%$  است.



شکل ۱۴. مقایسهٔ حل تحلیلی با روشن‌های مختلف عددی کسر حجمی در مسئلهٔ شیر آب، PFM،  $10^0$  سلول محاسباتی، زمان  $s = 0, 0.5, 1$ .  $CFL =$

مقدار سرعت پیشینه در ۶ متر پایانی لوله، در مکان بیشینه سرعت مایع، خطای قابل قبول  $3.84\%$  را نشان می‌دهد. این خطای در مقایسه با روشن‌های عددی لامس - فردربجن ریچمند و FORCE بسیار کمتر است. در شکل ۱۴ نتایج کسر حجمی حاصل از روشن‌های عددی مختلف اعمال شده در کد PFM و مقایسه با حل تحلیلی دیده می‌شود. نتایج برای  $10^0$  سلول محاسباتی، زمان  $s = 0, 0.5, 1$  و عدد  $CFL$  برابر  $0.5$  به دست آمده است. چنان‌که مشاهده می‌شود، روشن عددی محدودکننده شار (FLIC) با حل تحلیلی در مسئلهٔ شیر آب بهترین تطبیق را دارد.

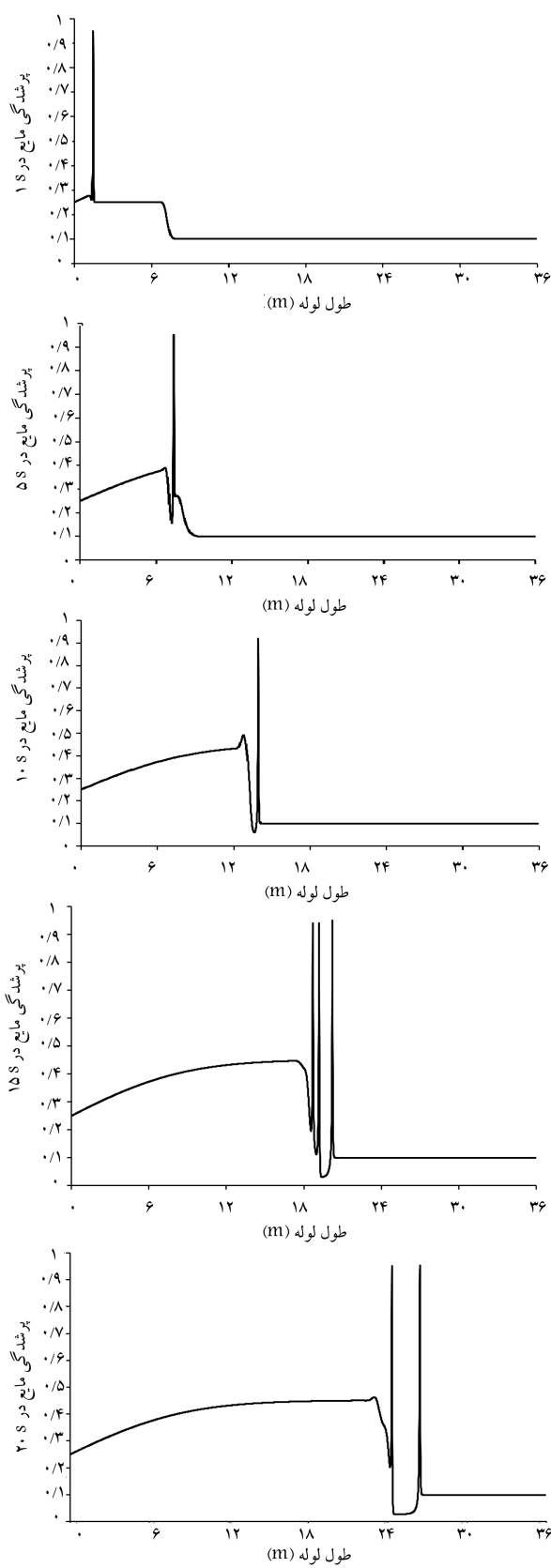
## ۷. شبیه‌سازی جریان دوفازی گاز - مایع درون کانال

پس از اعتبارسنجی کد توسعه یافتهٔ PFM با مسئلهٔ شیر آب و روشن عددی FLIC، که به منظور شبیه‌سازی جریان و تبخیر نایابداری اسلامگ برای جریان دوفازی لایه‌ی آب - هوا در کanal مستطیلی به ابعاد  $5 \times 10 \text{ cm}^2$  و طول یک متر توسعه داده شد.

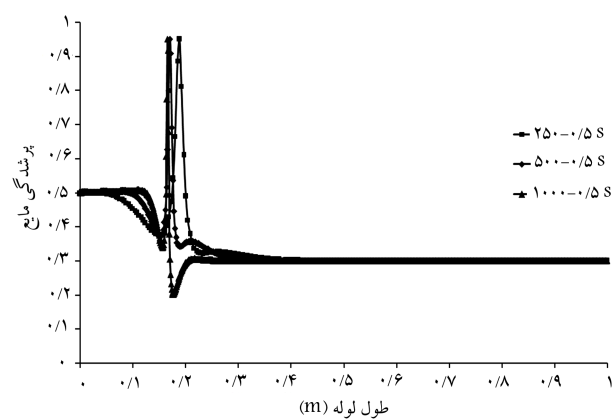
در شکل ۱۷ استقلال حل از شبکه بررسی شده است. طبق نمودار  $17^0$  تعداد سلول محاسباتی  $50^0$  انتخاب می‌شود. از آنجا که در زمان تشکیل اسلامگ و  $\alpha$  صفر می‌شود، لذا معادلهٔ مومنتوم گاز تکین خواهد شد. بنابراین در کد توسعه یافتهٔ حاضر، حدی برای کمینه مقدار  $\alpha$  برابر  $5 \times 10^{-5}$  در نظر گرفته شده است.

## ۳.۶. تغییرات جریان با زمان

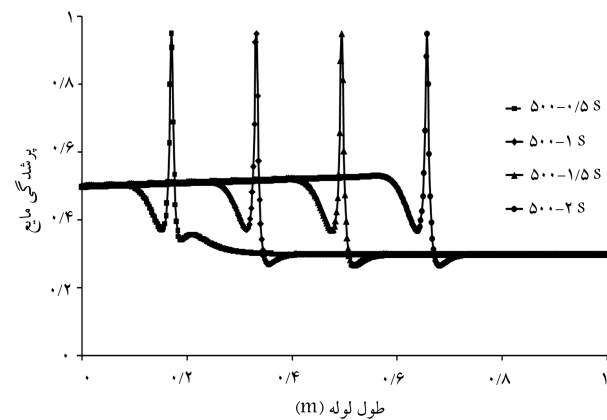
محاسبات کسر حجمی و سرعت فاز مایع در چند گام زمانی ( $0, 0.25, 0.5, 0.75, 1$  s) به منظور نشان دادن همگرایی روشن عددی FLIC در شکل‌های ۱۵ و ۱۶ نشان داده شده است. با توجه به شرایط اولیه و مرزی، و نیز هندسهٔ لوله و رابطهٔ ۲۶، با یک محاسبهٔ سادهٔ فیزیکی زمان رسیدن ذره‌ی از سیال از بالا به پایین لوله و برقراری شرایط پایا معادل  $s = 0, 0.85$  به دست می‌آید. از این رو محاسبات تا زمان  $s = 1$  ادامه یافته تا حل مسئله در شرایط پایا نیز بررسی شود. طبق شکل ۱۵ روشن عددی FLIC تطبیق بسیار خوبی با حل تحلیلی دارد. خطای حل عددی کسر حجمی در شرایط پایا و در زمان  $s = 1$  در انتهای لوله مقدار



شکل ۱۷. شبیه‌سازی پوشیدگی مایع در طول کanal در مدت زمان  $s = ۲۰$  با فاصله زمانی  $s = ۵$ ، FLIC، PPFM،  $\alpha_l = ۰,۲۵$  و  $U_{sg} = ۶,۳۰$  m/s



شکل ۱۷. استقلال جواب شبیه‌سازی رژیم اسلامگ، FLIC، روش عددی  $U_g = ۶,۵$  m/s و  $U_l = ۰,۵$  m/s،  $CFL = ۰,۱$ ، زمان  $s = ۰,۵$  و  $\alpha_l = ۰,۵$



شکل ۱۸. حرکت اسلامگ در طول کanal، FLIC، روش عددی  $\alpha_l = ۰,۵$ ، PFM،  $U_g = ۶,۵$  m/s و  $U_l = ۰,۵$  m/s،  $CFL = ۰,۱$

جدول ۱. داده‌های تجربی فرکانس اسلامگ در محل  $D = ۶۰$  از ورودی کanal در [۲۵].  $\alpha_l = ۰,۲۵$

سرعت ظاهری (Hz)	فرکانس اسلامگ در $D = ۶۰$ لغزش (m/s)	ضریب گاز (m/s)	مایع (m/s)
۰,۲۹	۳,۷۸	۶,۳۰	۰,۵۶

در شکل ۱۸ نیز روند حرکت اسلامگ تشکیل شده با زمان در طول کanal مشاهده می‌شود.

با حرکت موج اسلامگ به سمت پایین دست کanal و خروج آن، شرایط جریان برای تشکیل اسلامگ جدید بازیابی می‌شود. پس از شبیه‌سازی جریان اسلامگ در کanal ۱ متری، جریان درون کanal با هندسه‌ی آزمایشگاه جریان چندفازی دانشگاه تربیت مدرس شبیه‌سازی شده است. مقطع کanal آزمایشگاه به شکل مستطیلی به ابعاد  $۱۰ \times ۵$  cm ( $D = ۶,۶۷$  cm) و طول آن ۲۶ m است. به منظور بررسی توانمندی روش عددی FLIC در PFM از نتایج آزمایش انجام شده [۲۵] استفاده شده است (جدول ۱). در شکل ۱۹ روند تشکیل و حرکت اسلامگ‌های متولی را با توجه به شرایط بالا دست نشان داده شده است. زمان در نظر گرفته شده برای شبیه‌سازی  $۲۰$  s بوده است.

چنان‌که در شکل ۱۹ مشاهده می‌شود، مشابه مشاهدات آزمایش در شکل ۲۰

## ۸. نتیجه‌گیری

در این نوشتار برای نخستین بار با استفاده از PFM، پرش هیدرولیکی پس از تشکیل اسلاگ، تسخیر و فرکانس اسلاگ در جریان دوفازی لایه‌بی در کanal افقی طویل تعیین شده است. معادلات این مدل دوسیالی گذرا توسط یک گروه از روش‌های تسخیر شاک مرتبه‌بالا، به طور عددی حل شده است. بهمنظور تأیید نتایج روش‌های مختلف عددی کاربردی (لاکس - فردربیچن، ریچمایر، مرتبه اول مرکزی قطعی و محدود کننده شارا مورد آزمایش شیرآب انتخاب شده است. پس از صحبت‌آزمایی کدهای توسعه‌یافته و مقایسه‌ی روش‌های مختلف عددی، روش عددی محدود کننده‌ی شار برای شبیه‌سازی جریان لایه‌بی آب - هوا در یک کanal افقی طویل انتخاب شده است. نتایج اصلی به دست آمده از شبیه‌سازی عبارت است از:

-- روش عددی مرتبه‌ی دوم ریچمایر در نزدیکی ناپوستگی‌های شدید از خود طبیعت نوسانی نشان می‌دهد. به جز نوسانات شدید در نزدیکی ناپوستگی‌ها، در دیگر نقاط میدان حل، تطبیق خوبی با حل تحلیلی مشاهده می‌شود.

-- بهمنظور میراکردن نوسانات روش عددی ریچمایر، از روش محدود کننده‌ی شار (FLIC) استفاده شد.

-- با مقایسه‌ی روش‌های عددی بررسی شده در کد توسعه‌یافته‌ی PFM بیشترین دقت و همخوانی با حل تحلیلی مسئله‌ی شیرآب مربوط به روش عددی FLIC است.

-- با توجه به قوی بودن FLIC در پیش‌بینی رفتار جریان دوفازی، کد PFM با این روش عددی برای شبیه‌سازی جریان درون کanal توسعه یافت.

-- مشابه مشاهدات آزمایش در شبیه‌سازی عددی نیز پیش از تشکیل اسلاگ در پرش‌گری مایع  $0,25$  m/s، در سطح مایع پرش هیدرولیکی دیده می‌شود.

-- کد توسعه‌یافته‌ی PFM قادر به پیش‌بینی رفتار جریان با خطای  $31\%$  در تعیین فرکانس اسلاگ محل  $D = 60$  از ورودی کanal است.

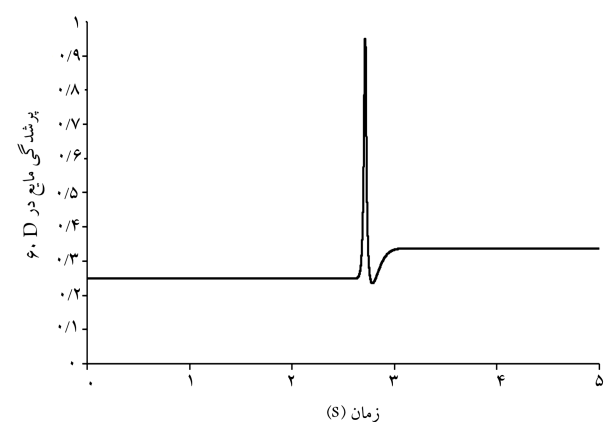
-- با مقایسه‌ی نتایج شبیه‌سازی و داده‌های تجربی مشخص شد که مدل مستقل از فشار در محدوده‌ی خوش‌رفتار، توانایی شبیه‌سازی جریان دوفازی لایه‌بی در کanal افقی طویل، تسخیر ناپایداری اسلاگ، تسخیر پرش هیدرولیکی پس از تشکیل اسلاگ و تعیین فرکانس آن را به خوبی دارد.



شکل ۲۰. پرش هیدرولیکی در  $0,25$  m/s به همراه افزایش سطح مایع  $U_{sg} = 0,56$  m/s و  $U_{sl} = 3,20$  m/s [۵]



شکل ۲۱. اسلاگ تشکیل شده بعد از پرش هیدرولیکی در  $0,25$  m/s،  $U_{sg} = 0,56$  m/s و  $U_{sl} = 3,20$  m/s [۵]



شکل ۲۲. پرش‌گری مایع در مکان  $D = 60$  در مدت زمان  $0,25$  s،  $U_{sg} = 0,56$  m/s و  $U_{sl} = 3,20$  m/s [۵]

در شبیه‌سازی عددی نیز پیش از تشکیل اسلاگ در پرش‌گری مایع  $0,25$  m/s، در سطح مایع پرش هیدرولیکی دیده می‌شود.

در آزمایش‌های پرش‌گری مایع  $0,25$  m/s، سطح مایع پس از عبور از تیغه‌ی جداکننده افزایش می‌یابد. این افزایش سطح ناشی از کم بودن فشارگار روى سطح مایع نسبت به کسر حجمی‌های بالاتر مایع است. افزایش سطح مایع تا جایی که نیروی برآب فشار گاز متعادل شود ادامه می‌یابد. همچنین یک پرش هیدرولیکی  $0,25$  در پایین دست و قبل از تشکیل اسلاگ مشاهده می‌شود (شکل‌های ۲۰ و ۲۱). [۵]

در شکل ۲۲ پرش‌گری مایع در زمان  $5$  s در محل  $D = 60$  ترسیم شده است. چنان‌که در شکل ۲۲ مشاهده می‌شود، در مدت زمان  $5$  s یک اسلاگ در زمان  $5$  s تشکیل می‌شود. با توجه به ثابت بودن شرایط بالادست جریان، در زمان‌های بعدی این روند تکرار می‌شود. می‌توان گفت فرکانس اسلاگ در این محل  $0,2$  Hz برابر است. طبق نتایج تجربی (جدول ۱) مقدار فرکانس اسلاگ در محل  $D = 60$  برابر  $0,29$  Hz است. بنابراین کد توسعه‌یافته‌ی PFM قادر به پیش‌بینی رفتار جریان با خطای  $31\%$  در تعیین فرکانس اسلاگ بوده است.

## فهرست علائم

$A$ : سطح مقطع ( $m^2$ )

$CFL$ : عدد کوافنت - فردربیز - لیوای:

$D$ : قطر معادل هیدرولیکی کanal (m):

$f$ : ضریب اصطکاک فاینینگ:

$f$ : بردار شار:

$g$ : شتاب جاذبه ( $ms^{-2}$ ):

$h$ : ارتفاع (m):

$q$ : بردار متغیرهای پایستار:

$S$ : طول تماس (m):

$S(q)$ : ترم چشممه:

$t$ : زمان (s):

## علام یونانی

$\alpha$ : کسر حجمی;

$\varepsilon$ : زبری متوسط سطح لوله (m):

$\theta$ : شیب کanal (rad):

$\mu$ : گرانزوی سینماتیکی ( $s^{-1}$ ):

$\rho$ : چگالی ( $kgm^{-3}$ ):

$\tau$ : تنش برشی (Pa):

$\beta$ : متغیر تم محدودکننده شار:

$\Phi$ : تم محدودکننده شار.

## بالانویس‌ها

$z$ : شمارنده معادلات سیستم;

$n$ : گام زمانی قدم:

$1 + n$ : گام زمانی جدید.

## زیرنویس‌ها

$0$ : ساکن:

$g$ : فاز گاز:

$h$ : هیدرولیکی:

$i$ : سطح مشترک دو فاز نشان‌گر سلول در معادلات گستته شده;

$inlet$ : ورودی:

$l$ : فاز مایع:

$s$ : ظاهری.

## پانوشت‌ها

1. flooding
2. singular
3. well- posed
4. Ill- posed
5. Shock
6. pressure free model
7. two- fluid model (TFM)
8. stratified-smooth
9. stratified-wavy
10. Godunov's first order upwind method
11. flux splitting methods
12. high resolution Shock capturing methods
13. conservative
14. numerical flux
15. Lax-Friedrichs
16. Ritchmyer
17. first-order centered scheme (FORCE)
18. flux limiter centered (FLIC)
19. leap frog
20. total variation diminishing
21. water faucet case
22. total variation diminishing
23. flux corrected transport
24. flux limiter centered scheme
25. Hydraulic jump

## منابع (References)

1. Renault, F. "A lagrangian slug capturing scheme for gas-liquid flows in pipes", PhD Dissertation, Faculty of Engineering Science and Technology, Norwegian University of Science and Technology (2007).
2. Ahmad, M.S. "CFD simulation of bubbly two-phase flow in horizontal pipes", BS Dissertation, Faculty of Chemical & Natural Resources Engineering, University Malaysia Pahang (April 2009).
3. Toumi, I., Kumbaro, A. and Paillere, H. "Approximate riemann solvers and flux vector splitting schemes for two-phase flow", Technical Report, (1999).
4. Omgbia Essama, Ch. "Numerical modeling of transient gas-liquid flows (Application to Stratified & Slug Flow Regimes)", PhD thesis, Cranfield University (2004).
5. Keyla, S.M., Marcelo, A.L., Gonçalves, E.G., Geraldo, S.R., Fernando, A.F., Eugênio, S.R. "Horizontal slug flow in a large-size pipeline experimentation and modeling", *J. Braz. Soc. Mech. Sci.*, Rio de Janeiro, **23**(4), pp. 481-490 (2001).
6. Adibi, P. and Ansari, M.R. "Experimental investigation of slug initiation to upstream conditions of two phases in long horizontal channels in two fluids", *Modares Mechanical Engineering*, **14**(3), pp.27-35 (2014).
7. Ansari, M.R., "Dynamical behavior of slug initiation generated by short waves in two-phase air-water stratified flow", *ASME HTD*, **361**, pp. 289-295 (1998).
8. Adibi, P., Ansari, M.R., Habibpour, B. and Salimi, E. "Slug frequency evaluation in long horizontal channel by experimental method", *Modares Mechanical Engineering*, **14**(2), pp.141-149 (2014).
9. Fabre, J. and Line, A. "Modeling of two-phase slug flow", *Ann. Rev. Fluid Mech.*, **24**(1), pp. 21-26 (1992).
10. Dukler, A.E., Hubbard, M.G. "A model for gas-liquid slug flow in horizontal and near horizontal tubes", *Industrial & Engineering Chemistry Fundamentals*, **14**, pp. 337-347 (1975).
11. Nicholson, M.K., Aziz, K. and Gregory, G.A. "Intermittent two-phase flow in horizontal pipes: Predictive models", *The Canadian Journal of Chemical Engineering*, **56**, pp. 653-663 (1978).

12. Stanislav, J.F., Kokal, S. and Nicholson, M.K. "Intermittent gas-liquid flow in upward inclined pipes", *Int. J. Multiphase Flow*, **12**, pp. 325-335 (1986).
13. Taitel, Y. and Barnea, D. "A consistent approach for calculating pressure drop in inclined slug flow", *Chem. Eng. Sci.*, **45**, pp. 1199-1206 (1990a).
14. Andreussi, P., Bendiksen, K. and Nydal, O.J. "Void distribution in slug flow", *Int. J. Multiphase Flow*, **19**, pp. 817-828 (1993).
15. Andreussi, P., Minervini, A. and Paglianti, A. "Mechanistic model of slug flow in near-horizontal pipes", *AICHE J.*, **39**, pp. 1281-1291 (1993).
16. Issa, R.I. and Woodburn, P. "Numerical prediction of instabilities and slug formation in horizontal two-phase flows", in: 3rd International Conference on Multiphase Flow, ICMF98, Lyon, France (1998).
17. Vernier, P. and Delhaye, J. "General two-phase flow equations applied to the thermodynamics of boiling nuclear reactors", *Energ. Primarie*, **4**, pp. 1-43 (1968).
18. Bouré, J. and Reocreux, M. "General equations of two-phase flows", in: All Union Heat Mass Transfer Conference, Minsk, USSR (1972).
19. Ishii, M., *Thermo-Fluid Dynamic Theory of Two-Phase Flow*, Eyrolles, Paris (1975).
20. Ishii, M. and Mishima, K. "Two-fluid model and hydrodynamic constitutive relations", *Nucl. Eng. Des.*, pp. 107-126 (1984).
21. Issa, R.I. and Kempf, M.H.W. "Simulation of slug flow in horizontal and nearly horizontal pipes with the two-fluid model", *Int. J. Multiphase Flow*, **29**, pp. 69-95 (2003).
22. Issa, R.I. "Review of applicability of the one-dimensional two-fluid model to the prediction of wave growth and slug evolution in horizontal pipes", The 6th International Symposium on Multiphase Flow, Heat Mass Transfer and Energy Conversion (2010).
23. Ansari, M.R. and Shokri, V. "Numerical modeling of slug flow initiation in a horizontal channels using a two-fluid model", *Int. J. Heat Fluid Flow*, doi:10.1016/j.ijheatfluidflow.2010.09.002 (2010).
24. Firouzfar, H., Nobakht Hassanlouei, R., Kasiri, N. and Khanof, M.H. "A simple mathematical model for slug liquid holdup in horizontal pipes", *Scientia Iranica, Transactions C: Chemistry and Chemical Engineering*, **19**(6), pp. 1-8 (2012).
25. Ansari, M.R. and Daramizadeh, A. "Slug type hydrodynamic instability analysis using a five equations hyperbolic two-pressure, two-fluid model", *Ocean Engineering*, **52**, pp. 1-12 (2012).
26. Issa, R.I., Bonizzi, M. and Barbeau, S. "Improved closure models for gas entrainment and interfacial shear for slug flow modeling in horizontal pipes", *Int. J. Of Multiphase Flow*, **32**, pp. 1287-1293 (2006).
27. Saurel, R. and Abgrall, R.A. "A multiphase godunov method for compressible multifluid and multiphase flows", *Journal of Computational Physics*, **150**, pp. 425-467 (1999).
28. Evje, S. and Flatten, T. "Hybrid flux-splitting schemes for a common two-fluid model", *Journal of Computational Physics*, **192**(1), pp. 175-210 (2003).
29. Romate, J.E. "Developing a second-order TVD scheme for one-dimensional two-phase flow model", AMIF-ESF Workshop – Computing Methods for Two-Phase Flow, Paper 22, Aussois, France (12-14 January 2000).
30. Ansari, M.R. and Shokri, V. "New algorithm for the numerical simulation of two phase stratified gas-liquid flow and its application for analyzing the Kelvin-Helmholtz instability criterion with respect to wavelength effect", *Nuclear Engineering and Design*, **273**, pp. 2302-2310 (2007).
31. Adibi, P. and Ansari, M.R. "Slug capturing in gas-liquid two-phase flow at a horizontal channel using PFM", in The 15th Fluid Dynamics Conference, Bandar Abbas, Iran, (2013) (In Persian).
32. Toro, E.F., *Riemann Solvers and Numerical Methods for Fluid Dynamics*, 3rd edition, Springer (2009).
33. Hirsch, C., *Numerical Computation of Internal and External Flows: Fundamentals of Numerical Discretization*, **2**, John Wiley & Sons (1990).
34. Ransom, V.H. and Hicks, D.L. "Hyperbolic two-pressure models for two-phase flow", *Journal of Comp. Phys.*, **53**, pp. 124-151 (1984).
35. Adibi, P. and Ansari, M.R. "Slug frequency prediction in gas-liquid two-phase flow at long horizontal channel by experimental method", in The 15th Fluid Dynamics Conference, Bandar Abbas, Iran (2013) (In Persian).